

Capitolul 2

Deoarece proprietatile optice ale norului depind de proprietatile microfizice ale lui, in cazul oricarui model de calcul al albedoului norului si forcingului radiativ se impune studiul senzitivitatii albedoului la schimbarile atat in concentratia de picaturi de nor cat si in continutul de apa lichida sau grosimea norului. Senzitivitatea albedoului a fost subiect de studiu pentru partea a doua a etapei a patra.

2.1. Rezultate obtinute pentru microfizica norului

In Tabelul 1 sunt prezentate proprietatile microfizice ale unui set de cinci tipuri de nori [10]. Aceste proprietati au fost folosite in lucrarea de fata pentru a calcula sau pentru a valida rezultatele noastre, obtinute pentru un model coloana (unidimensional), prezentat in capitolul precedent. Am folosit de asemenea, ca date de intrare, grosimile geometrice ale diferitelor tipuri de nori obtinute din masuratori [4, 5].

2.1.1. Raza efectiva

Raza efectiva se poate parametriza ca o dependenta de puterea “ $1/3$ ” a raportului dintre continutul de apa lichida din nor si densitatea numerica a picaturilor in nor, cu un prefactor dependent de spectrul distributiei picaturilor dupa marime [14, 15].

$$r_{eff} = PF \cdot \left(\frac{L}{N_{CDNC}} \right)^{\frac{1}{3}}, \quad (1)$$

unde prefactorul PF se calculeaza din:

$$PF = 62.04 \cdot \frac{(1+2d^2)^{2/3}}{(1+d^2)^{1/3}} \quad (2)$$

Aici d semnifica dispersia spectrala a distributiei picaturilor dupa marime ($d = \frac{\sigma}{\bar{r}}$). In nori de apa lichida raza efectiva r_{eff} se poate folosi pentru a exprima grosimea optica a norului, albedoul de imprastiere simpla si factorul de asimetrie.

Am presupus ca dispersia spectrala a distributiei particulelor de aerosol dupa marime caracterizeaza cele N distributii dupa marime si am considerat ca valorile dispersiei spectrale corespund modului de acumulare pentru diversele tipuri de aerosol care stau la baza formarii tuturor tipurilor de nor, cu exceptia tipului Cumulus continental poluat, pentru care am adaugat tipul de nucleatie.

Tabel 1. Tipuri de nor si proprietatile lor microfizice

Tipul norului	nume	$r_{mod} (\mu m)$	$r_{eff} (\mu m)$	$N (cm^{-3})$	$L (g \cdot m^{-3})$
Stratus (continental)	StCO	4,70	7.33	250	0.28
Stratus(maritime)	StMA	6.75	11.30	80	0.30
Cumulus (cont.,clean)	CuCC	4,80	5.77	400	0.26
Cumulus(cont., polluted)	CuCP	3.53	4.00	1300	0.30
Cumulus (maritime)	CuMA	10.40	12.68	65	0.44

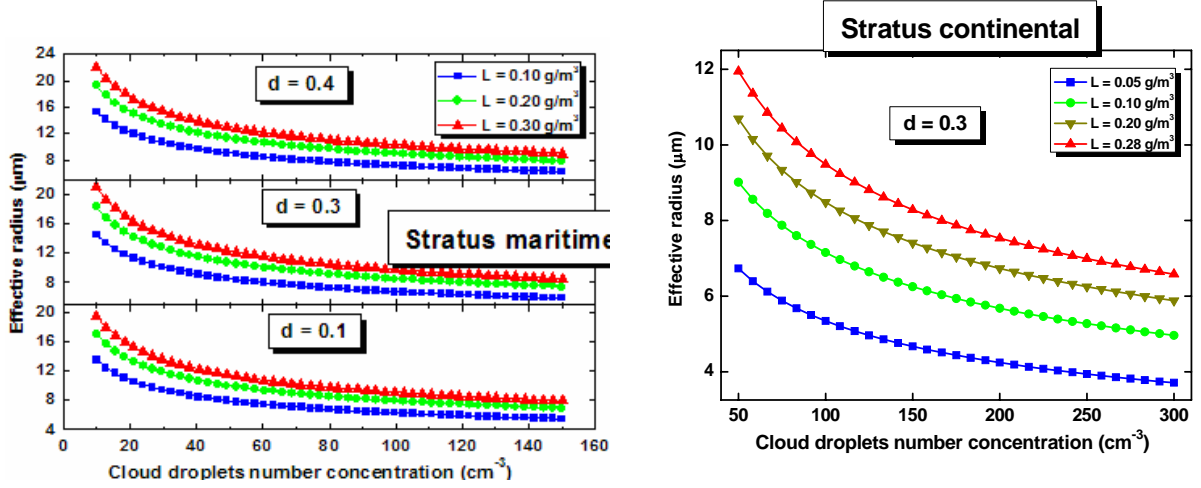


Figura 2.1. Raza efectiva a picaturilor de nor ca functie de CDNC, pentru nori de tip Stratus maritim si continental.

Figura 2.1 prezinta dependenta razei efective de N , pentru trei valori diferite ale continutului de apa lichida, in cazul norilor de tip Stratus maritim si continental si pentru urmatoarele valori ale dispersiei: 0.1, 0.3 si 0.4 in cazul norilor stratus maritim. Rezultatele arata dependenta puternica dintre raza efectiva, continutul de apa lichida si dispersia spectrala.

Pentru aceleasi valori ale lui N se poate observa ca o crestere a lui d produce o crestere a razei efective r_{eff} . Acelasi rezultat s-a observat si pentru alti nori (diagramele nu sunt prezentate aici). O crestere a lui d poate duce de asemenea la contracararea efectului cresterii lui N asupra lui r_{eff} si asupra reflectivitatii norului [14].

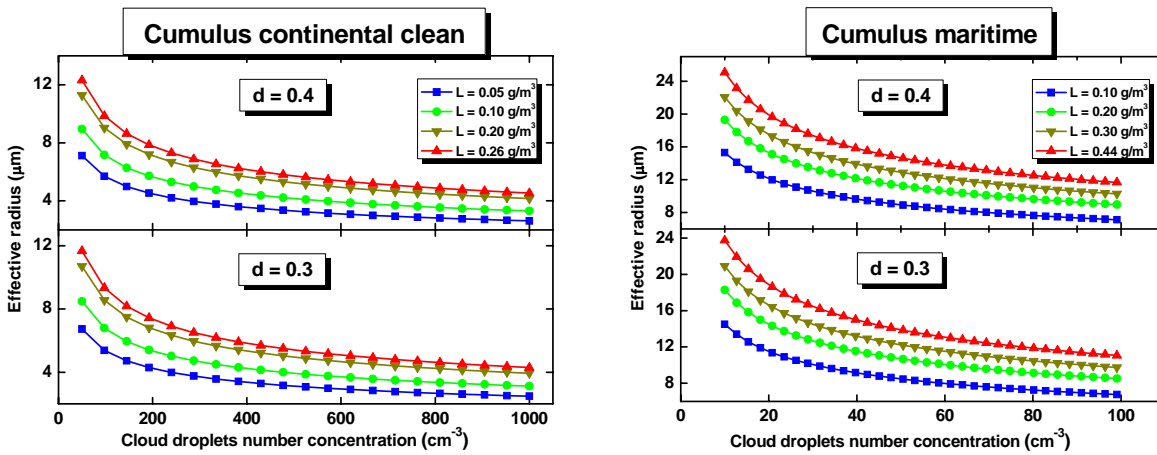


Figura 2.2. Razele efective in functie de CDNC , concentratia picaturilor de nor de tip continental curat si maritim, pentru dispersie 0,3 si 0,4 dar continut de apa lichida diferit.

Pentru cazul norilor de tip Stratus maritim rezultatele arata ca, pentru $N = 80 \text{ cm}^{-3}$ si $L = 0.3 \text{ g/m}^3$, raza efectiva este de $11.3 \mu\text{m}$, in acord cu masuratorile prezentate in Tabelu 1

pentru $d = 0.3$. O crestere a continutului de apa lichida duce la valori mai mari ale razei efective, depinzand de valorile CDNC. Rezultatele sunt asemanatoare cu cele obtinute de Han et al. [8] din masuratori.

Situatia este similara si pentru tipurile de nori continental (Figura 2.2): se observa valori mai mici ale r_{eff} pentru cresteri ale CDNC. Cele mai probabile valori pentru raza efectiva a picaturilor de nori continentali este in domeniul $2 \div 4 \mu\text{m}$. Aceste valori sunt similare cu cele masurate de Han et al. [8] si cele obtinute prin simulare de Boucher and Lohmann [3] folosind modelele ECHAM si LMD GCM.

2.1.2. Grosimea optica a norului

Pentru a investiga dependenta grosimii optice τ de densitatea numerica a picaturilor in nor s-a utilizat relatia (5). Am considerat in calcule valori ale continutului de apa lichida din Tabelul 1, limitandu-ne doar la cazul norilor care nu precipita. In plus, am folosit ipoteza ca toti nucleii de condensare (CCN) produc picaturi de nor [15].

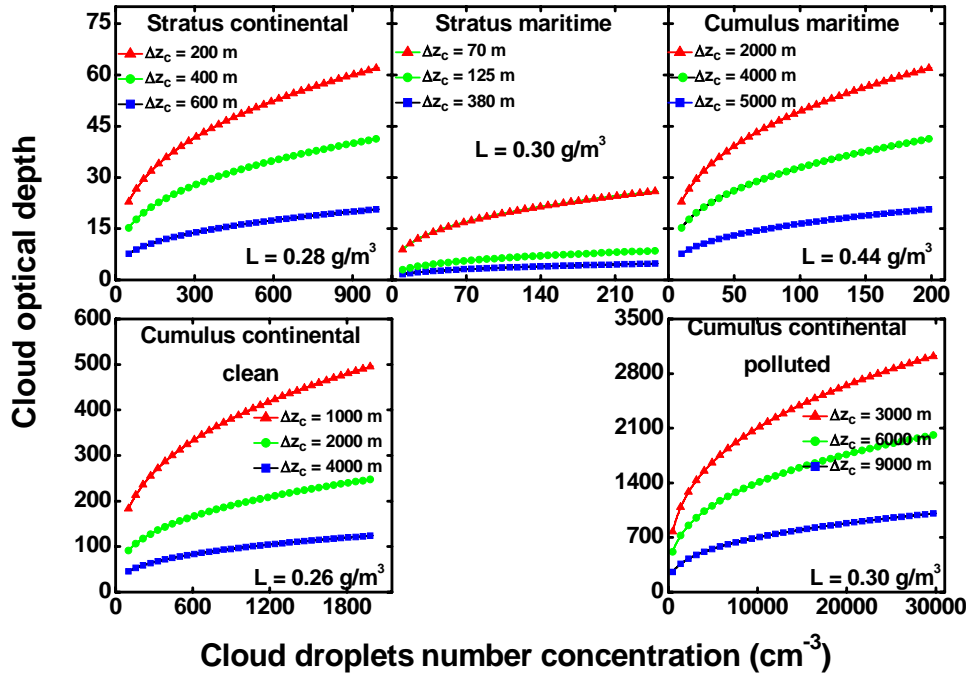


Figura 2.3. Grosimea optica a norului in functie de densitatea numerica a picaturilor in nor a celor cinci tipuri de nori (Tabelul 1), de grosimea geometrica corespunzatoare si de continutul de apa lichida.

Figura 2.3 prezinta dependenta lui τ de CDNC pentru cazul a cinci tipuri de nor (Tabelul 1) cu grosimi geometrice particulare. In ceea ce priveste dependenta lui τ de grosimea geometrica a norului, pentru o valoare fixata a lui L , se poate observa o crestere a grosimii optice a norului cand grosimea geometrica scade. Se remarcă de asemenea variația lui τ cu tipul de nor, cu valorile cele mai mari pentru tipul Cumulus poluat.

2.2. Dependenta albedoului norului de proprietatile micro- si macro-fizice ale norului

Albedoul norului, a , a fost calculat luand in considerare aproximatia pentru un nor neabsorbant, orizontal omogen (relatia1).

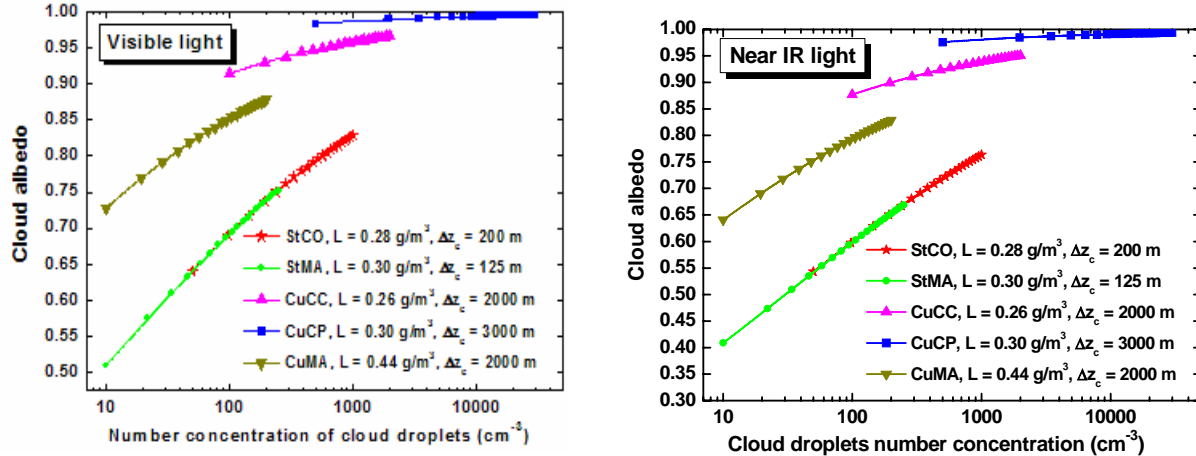


Figura 2.4. Dependenta albedoului norului de CDNC pentru cele cinci tipuri de nori descrise in Tabelul 1 si cele doua domenii spectrale vizibil si infrarosu..

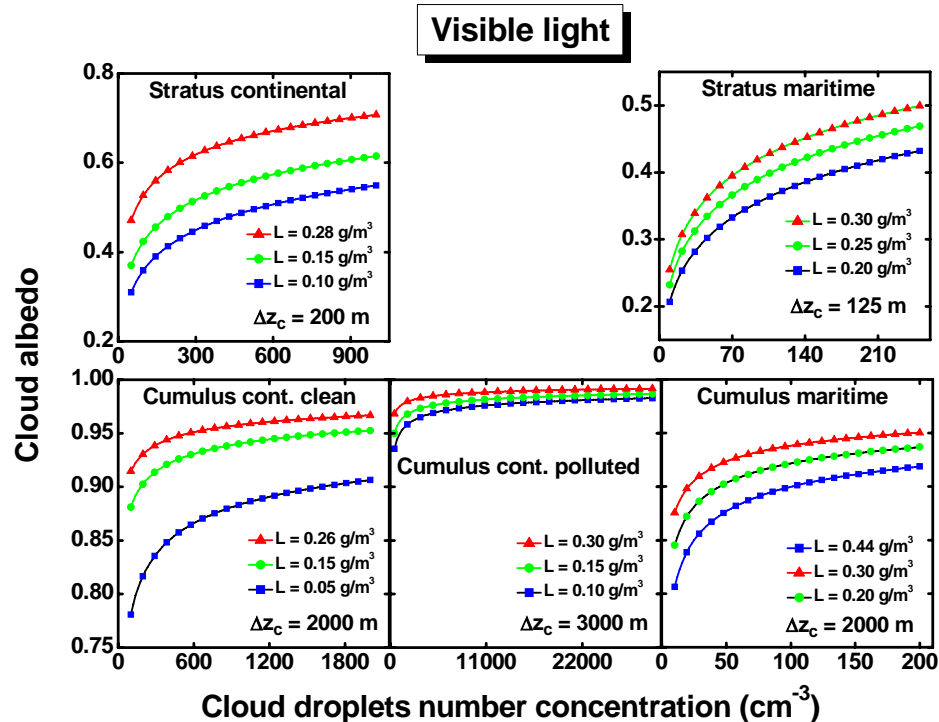


Figura 2.5. Dependenta albedoului norului de grosimea geometrica si de CDNC pentru domeniul spectral vizibil.

Figura 2.4 prezinta dependenta albedoului norului, in spectrul vizibil, de densitatea numerica a picaturilor in nor pentru cele cinci tipuri de nor, pentru valori fixate ale grosimii geometrice. Variatia albedoului norului cu densitatea numerica a picaturilor in nor si cu grosimea geometrica a norului este prezentata in Figura 2.5.

Se poate observa influenta tipurilor de nori, si deci a tipului de aerosol, in valorile albedoului norului. Cresterea albedoului cu cresterea concentratiei de picaturi de nor (CDNC) si scaderea cu grosimea geometrica a norului, are loc in mod similar cu comportarea grosimii optice. Cele mai mari diferente sunt intre norii maritimi si cei continentali. Explicatia este legata de tipul si compozitia maselor de aer. In norii continentali poluati, unde picaturile sunt mai mici si CDNC este mai mare, albedoul are valori mai mari decat pentru nori maritimi [17].

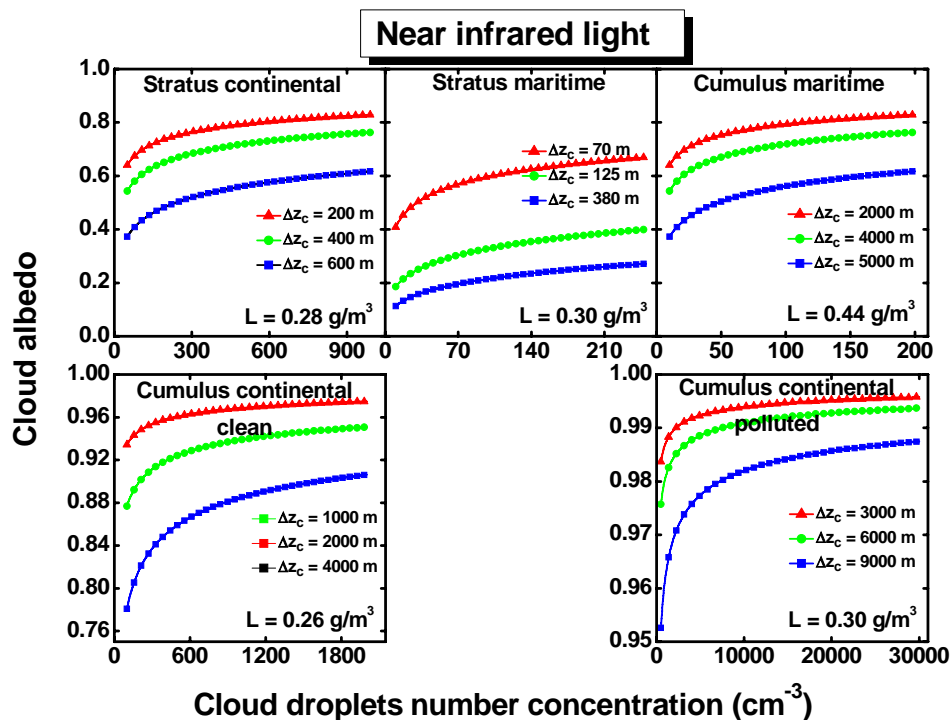


Figura 2.6. Dependenta albedoului norului de grosimea geometrica si de CDNC pentru domeniul spectral infraroșu.

Din figurile 2.5, 2.6 si 2.7 se poate constata cresterea albedoului in cazul norilor continentali in raport cu albedoul norilor marini pentru ambele domenii spectrale. Pe de alta parte albedoul pentru nori in aceleasi conditii macroscopice de grosime si continut de apa este mai mic in domeniul spectral de unda lunga decat in domeniul radiatiei solare directe , ceea ce inseamna ca efectul radiativ net este cel de racire.Diferenta este mai mare in cazul norilor marini, adica racirea este mai mare datorita reflexiei radiatiei solare incazul norilor marini si mai ales norii de tip stratus. Figura 2.8 evidentaaza efectul radiativ net de racire in cazul norilor stratus, care sunt nori subtiri. Albedoul cu valoare foarte ridicata in cazul norilor cumulus continentali poluati arata ceea ce s-a observat si

experimental ca norii poluati care au concentratii mari de picaturi foarte mici inhiba formarea precipitatiilor (efectul indirect secundar).

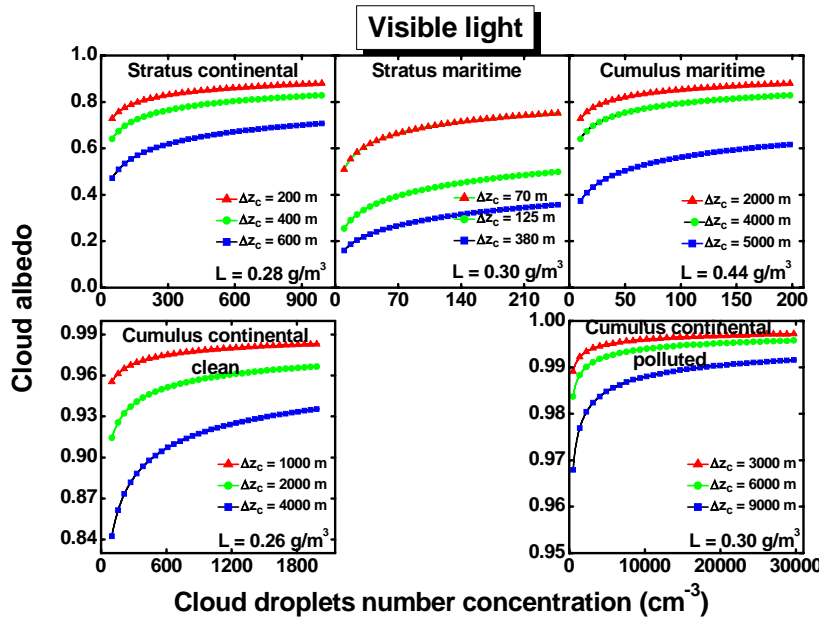


Figura 2.7. Dependentă albedoului norului de grosimea geometrică și de CDNC pentru domeniul spectral vizibil.

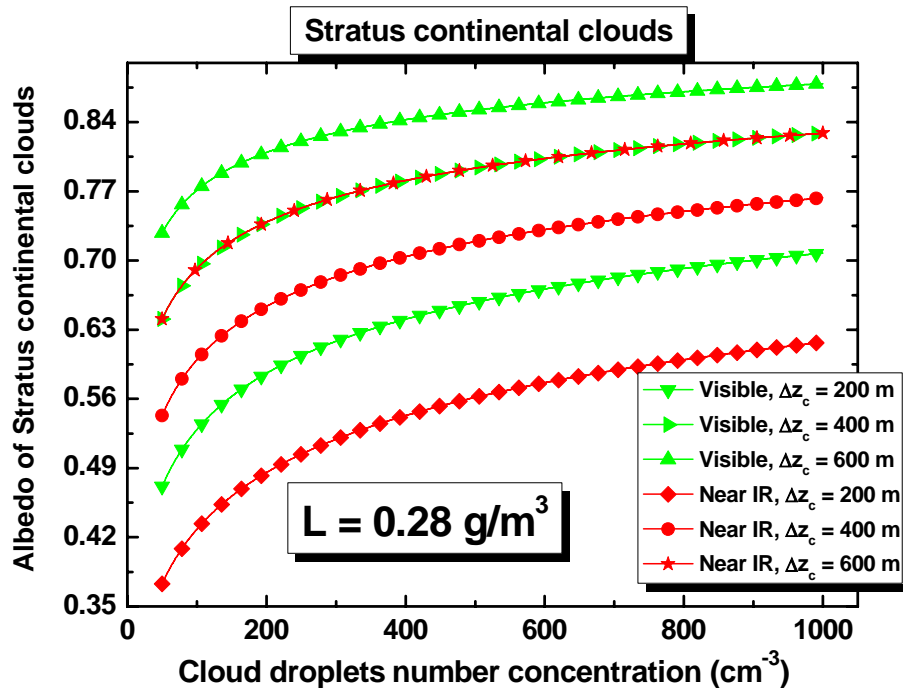


Figura 2.8. Albedoul în cazul norilor stratus continentali pentru cele două domenii spectrale vizibil și infraroșu pentru continut de apă constant.

In cazul in care norii cumulus au avut acelasi continut de apa si aceeasi grosime albedoul a avut valori mai mari pentru norii cumulus in mediu curat in raport cu norii din mediu poluat. Acest rezultat este foarte important privind efectul indirect care poate compensa prin prezenta norilor intensificarea incalzirii datorita efectului de sera.

Concluzii

Studiul de fata arata ca proprietatile radiative ale norilor depind de proprietatile lor microfizice cum ar fi concentratia picaturilor de nor, raza efectiva dar si de aspectele macrofizice cum ar fi grosimea lor geometrica.

Influenta grosimii norului asupra albedoului se observa in valorile diferite la diferite grosimi pentru acelasi tip de nor dar si pentru nori foarte diferiti ca structura. Acest rezultat semnifica importanta dinamicii norului de care trebuie sa se tinma seama in studiul interactiunii nor-aerosol.

Albedoul creste cu cresterea concentratiei de picaturi si descreste cand raza efectiva creste. De aceea, in norii urbani in care picaturile sunt mai reduse in dimensiune iar concentratia de picaturi foarte mare , valorile albedoului sunt mai mari in comparatie cu valorile norilor din aer nepoluat sau maritim.

Pe scurt , efectele aerosolului asupra norilor se pot imparti in efecte radiative si efecte asupra ciclului hidrologic:

a) Efectul Twomey si cel al timpului de viata al norului actioneaza sa raceasca sistemul Pamant –atmosfera prin cresterea grosimii optice (fig.2.3) si a nebulozitatii (acoperirea cu nori). Astfel se reduce radiatia solara neta atat la partea superioara a atmosferei cat si la suprafata.

b) Aerosolul poate schimba obtinerea si frecventa convectiei si astfel norii sunt responsabili atat in ceea ce priveste aparitia inundatiilor cat si a secelei. Continutul de apa al norilor poate sa scada cand atmosfera este incarcata cu aerosol (vezi intruziunile de praf, capitolul 3) ceea ce determina scaderea cantitatilor de precipitatii.

Ca o concluzie generala se poate spune ca interaciunea aerosol –nor nu este inca foarte bine inteleasa si studiata si ca modelele de climat, din acest motiv, au multe dificultati de parametrizare a norilor si efectelor radiative datorita prezentei lor.

In plus, efectele sunt in general foarte locale si este greu sa determini la scara globala pierderile sau castigul in energie pentru a estima ce se va intampla cu climatul.

Bibliografie capitolele 1 si 2.

1. Abdul-Razzak, H., Ghan, S.J., and Rivera-Carpio C., *J.Geophys. Res.*, 103, 6123-6132 (1998:);
2. AbduL-Razzak, H., and Ghan, S.J., *J. Geophys. Res.*, 105, 6837-6844 (2000).
3. Boucher, O., Lohmann, U., *Tellus* 47B, 281-300 (1995).
4. Brenguier J., L. H. Pawlowska, L. Schuller, R. Preusker and J. Fischer, *Jour.Atmos. Sci*, vol 57 , 2000 pg 803-821
5. Chakrapani V., D. R. Doelling, A.D.Rapp, P. Minnis, 2002. *Twelfth ARM Science Team Meeting Proceedings, St Petersburg , Florida, April 8-12, 2002.*
6. Conover, J. H., *J. Atmos. Sci.*, 23, 778-785 (1966).
7. Ghan, S.J., C.C. Chuang and J. E. Penner, *Atmos. Res.*, 30, 197-221, (1993)
8. Han, Q., Rossow, W. B., Chou, J., Welch, R. M, *J. Climate*, 11 (1998)

9. Hansen, J.E., Travis, L.D., *Space Sci. Rev.*, 16, 527–610 (1974).
10. Hess M.P. Koepke,I. Schultz, *Bull. A.M.S.*, vol 79,No.5, pp 831-844,(1998)
11. Hobbs, P.V., Radke, L. F., and Shumway, S.E., *J. Atmos. Sci.*, 27, 81-89 (1970).
12. Jones,A.,D.L. Roberts and A. Slingo, *Nature* 370, 450-453 (1994)
13. Lacis, A.A., Hansen, J.E, *J. Atmos. Sci.*, 31(1974).
14. Liu, Y., Daum, P.H., *Proceedings of the 13th International Conference on cloud and precipitation*, Reno, NV, 14-18 August;
15. Martin, G.M., Johnson, D.W., Spice, A., *J. Atmos. Sci.*, 51, 13 (1994).
16. Penner, J.E., Dong, X., Chen, Y., *Nature*, 427, 231-234 (2004).
17. Stefan, S., Iorga, G., *Effects of aerosol on the optical properties of clouds*, Proceedings of the 14th International Conference on Clouds and Precipitation, Bologna, Italy, 18-23 July, 2004 pp
18. Stefan S. *Fizica atmosferei, vremea si clima*. Editura Universitatii din Bucuresti, 2004, 425pg.
19. Twomey, S., *Atmos. Environ.*, 25A, (11), 2435-2442 (1991).